

О НЕРЕГУЛЯРНОМ ОТРАЖЕНИИ СЛАБЫХ УДАРНЫХ ВОЛН
ОТ ЖЕСТКОЙ СТЕНКИ

Г. П. Шинляпин

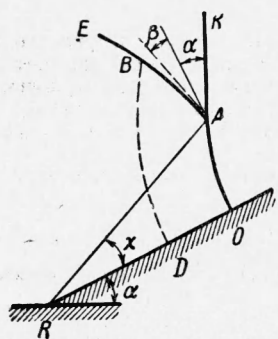
(Саратов)

В нелинейной постановке задача о нерегулярном отражении слабых ударных волн от жесткой стенки впервые рассматривалась в работе О. С. Рыжова и С. А. Христиановича [1]. Исследование течения для углов падения, близких к критическим, проводилось на основе уравнений «очень коротких волн». При этом размеры области резких изменений давления вблизи волны Маха остались неопределенными.

Приведенное в работе А. А. Гриба, О. С. Рыжова и С. А. Христиановича [2] решение системы «коротких волн» для случая, когда отраженную волну можно считать звуковой, описывает течение вблизи волны Маха при малых углах падения. Однако и здесь положение линии, замыкающей область резких изменений давления, осталось произвольным.

В настоящей работе исследуется режим нерегулярного отражения слабых ударных волн согласно теории «коротких волн», найдено частное решение уравнений «коротких волн», удовлетворяющее граничным условиям данной задачи, в том числе и на волне Маха, приведен пример расчета поля скоростей течения и построена картина отражения.

1.1. Как известно [3], задачу о нерегулярном отражении ударной волны можно представить следующей схемой (фиг. 1). Фронт плоской бесконечно длинной ударной волны AK с малым избыточным давлением p_1 подходит к жесткой стенке OR под некоторым углом α , величина которого для ударной волны данной интенсивности отвечает условиям [1], при которых осуществляется нерегулярное отражение ($\alpha < \alpha_*$) [1]. При этом взаимодействие ударных волн с жесткой стенкой приводит к появлению трехскаковой конфигурации, состоящей из падающего фронта AK , вдоль которого избыточное давление постоянно, волны Маха OA , вдоль которой избыточное давление падает от некоторого значения p_0 в основании волны до p_2 в точке A , и фронта отраженной волны AB , где избыточное давление падает от p_2 до p_1 .



Фиг. 1

В цилиндрической системе координат r, ϑ для области $OABD$, следовательно, имеет место интенсивное изменение давления как в радиальном направлении, так и в направлении изменения угла ϑ ; т. е. можно считать, что течение здесь соответствует «короткой волне» [1].

1.2. Пусть проекции вектора скорости на оси цилиндрической системы координат u, v, p — избыточное давление, ρ — плотность, t — время, P_0, ρ_0 — начальные значения давления и плотности, $n = 1,4$.

Тогда, согласно теории «коротких волн» [1,2], введем безразмерные функции

$$u = a_0 M_0 u = a_0 M, \quad v = a_0 \sqrt{1/2(n+1)} V_0 v = a_0 V \\ a = a_0 [1 + 1/2(n-1) M_0 \alpha], \quad a_0 = \sqrt{n P_0 / \rho_0} \quad (1.1)$$

и перейдем к подвижной системе координат

$$r = a_0 t \left(1 + \frac{n+1}{2} M_0 \delta \right), \quad \vartheta = \theta_0 \sqrt{1/2(n+1)} Y, \quad \tau = \ln t \quad (1.2)$$

Здесь a — скорость звука, a_0 — начальная скорость звука, M_0 , V_0 , θ_0 — характерные значения M , V , ϑ , причем они малы по сравнению с единицей, а μ , v , α , δ — величины порядка единицы. Положим

$$V_0 = M_0 \sqrt{M_0}, \quad \theta_0 = \sqrt{M_0}$$

Уравнения движения и уравнение неразрывности после отбрасывания малых величин примут для случая плоскопараллельных течений, явно не зависящих от времени, вид [1]

$$(\mu - \delta) \frac{\partial \mu}{\partial \delta} + \frac{1}{2} \frac{\partial v}{\partial Y} + \frac{1}{2} \mu = 0, \quad \frac{\partial v}{\partial \delta} - \frac{\partial \mu}{\partial Y} = 0, \quad M = \frac{p}{n P_0} \quad (1.3)$$

Переход от цилиндрической системы координат к декартовой осуществляется по формулам

$$\begin{aligned} x &= a_0 t [1 + 1/2(n+1)M_0 X] \\ y &= a_0 t \sqrt{1/2(n+1)M_0 Y}, \quad \delta = X + 1/2Y^2 \end{aligned} \quad (1.4)$$

1.3. Введем граничные условия. Пусть фронт с избыточным давлением p распространяется в среде с начальным избыточным давлением p_1 и скоростью q_1 . Согласно [1], скорость распространения фронта волны N и скорость частиц за фронтом q

$$N = a_0 [1 + 1/4(n+1)(M + M_1)], \quad q = a_0 p / P_0 n \quad (1.5)$$

Условие Гюгонио на ударном фронте удовлетворяется автоматически, так как во всем потоке M и p связаны соотношением

$$M = \frac{p}{n P_0} \quad (1.6)$$

Потребуем непрерывности составляющей вектора скорости в направлении, параллельном фронту при переходе через него.

Пусть ψ — угол между нормалью к ударному фронту и направлением радиус-вектора, тогда условие запишется

$$u\psi - v = q_1 (\psi + \vartheta + \alpha) \quad (q_1 = a_0 p_1 / P_0 n = u_1) \quad (1.7)$$

Так как $\psi = r^{-1} dr / d\theta = \sqrt{1/2(n+1)M_0} d\delta / dY$, то из равенства скоростей распространения фронта ударной волны по радиус-вектору

$$\frac{N}{\cos \psi} = a_0 \left[1 + \frac{n+1}{4} (M + M_1) + \frac{\Psi^2}{2} \right], \quad \frac{dr}{dt} = a_0 \left[1 + \frac{n+1}{2} M_0 \delta \right] \quad (1.8)$$

получим

$$\psi = \sqrt{1/2(n+1)M_0} \sqrt{2\delta - (\mu + \mu_1)} \quad (1.9)$$

Окончательно условие (1.7) в обозначениях (1.1) имеет вид

$$(\mu - \mu_1) \sqrt{2\delta - (\mu + \mu_1)} - v = \mu_1 (a_0 + Y), \quad a_0 = \alpha [1/2(n+1)M_0]^{-1/2} \quad (1.10)$$

Уравнение фронта волны получим из (1.8)

$$\delta = \frac{\mu + \mu_1}{2} + \frac{1}{2} \left(\frac{d\delta}{dY} \right)^2$$

или, если воспользоваться переходом к декартовой системе (1.4)

$$\frac{dX}{dY} + Y = \sqrt{2\delta - (\mu + \mu_1)} \quad (1.11)$$

1.4. Применим к задаче о нерегулярном отражении условия (1.6), (1.10) примут вид

$$M_1 = p_1 / P_0 n, \quad \mu_1 \psi^\circ + v_1 = 0 \quad \text{на } AK \quad (1.12)$$

$$M = p / P_0 n, \quad \mu \psi^\circ - v = \mu_1 (\alpha_0 + v + \psi^\circ) \quad \text{на } AB \quad (1.13)$$

$$M = p / P_0 n, \quad \mu \psi^\circ + v = 0 \quad \text{на } OA \quad (1.14)$$

$$\psi^\circ = \psi [^{1/2} (n + 1) M_0]^{-1/2} \quad (1.15)$$

Условие на стенке RO есть $v = 0$. Потребуем также, чтобы при подходе по AB в точке B фронт отраженной волны переходил в звуковую окружность BE , т. е.

$$\mu = \mu_1 \quad \text{при } \delta = \mu_1 \text{ на } AB \quad (1.16)$$

2.1. Рассмотрим режим течения. Примем за M_0 число Маха в основании волны Маха у стенки ($\mu_0 = 1$). Тогда, считая, что волна Маха подходит к стенке под прямым углом (условие параллельности потока стенке вблизи нее), получим из (1.11), (1.4)

$$\sqrt{2X_0 - \mu_0} = (dX / dY)_0 = 0 \quad \text{или} \quad X_0 = ^{1/2} \quad (2.1)$$

Рассмотрим поток вблизи тройной точки A (δ_A, χ_0), где согласно (1.2)

$$\chi_0 = \frac{\chi}{\sqrt{^{1/2}(n+1)M_0}} = Y_A$$

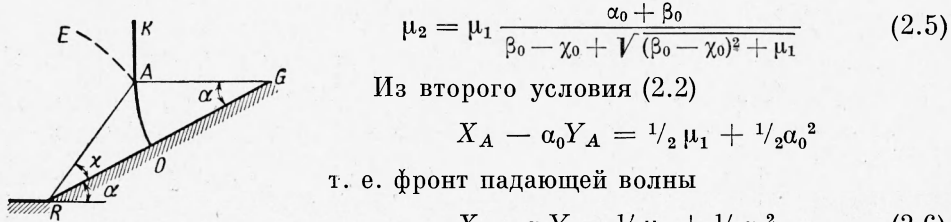
Условия (1.12), (1.13), (1.14) дают вместе с (1.9) в точке A

$$\mu_1 (\alpha_0 + \chi_0) + v_1 = 0, \quad \alpha_0 + \chi_0 = \sqrt{2\delta_A - \mu_1} \quad (2.2)$$

$$\mu_2 (\beta_0 - \chi_0) - v_2 = \mu_1 (\alpha_0 + \beta_0), \quad \beta_0 - \chi_0 = \sqrt{2\delta_A - \mu_1 - \mu_2} \quad (2.3)$$

$$\mu_2 \psi_A^\circ + v_2 = 0, \quad \psi_A^\circ = \sqrt{2\delta_A - \mu_2} \quad (2.4)$$

Здесь ψ_A° — угол между нормалью к волне Маха в точке A и лучом $\theta = \chi$. Складывая первые условия (2.3), (2.4), получим



Фиг. 2

Второе условие (2.2) дает

$$X_A - \alpha_0 Y_A = ^{1/2} \mu_1 + ^{1/2} \alpha_0^2$$

т. е. фронт падающей волны

$$X - \alpha_0 Y = ^{1/2} \mu_1 + ^{1/2} \alpha_0^2 \quad (2.6)$$

т. е. касательная в точке A к отраженному фронту

$$X + \beta_0 Y = ^{1/2} (\mu_1 + \mu_2) + ^{1/2} \beta_0^2 \quad (2.7)$$

Решая совместно уравнения (2.6), (2.7), найдем координаты точки A

$$\begin{aligned} \chi_0 = Y_A &= \frac{1}{2} \left(\frac{\mu^2}{\alpha_0 + \beta_0} + \beta_0 - \alpha_0 \right), & X_A &= \frac{1}{2} \left(\mu_1 + \alpha_0 \beta_0 + \frac{\alpha_0}{\alpha_0 + \beta_0} \mu_2 \right) \\ \delta_A &= \frac{1}{8} \left(\frac{\mu_2}{\alpha_0 + \beta_0} \right)^2 + \frac{\mu_2}{4} + \frac{\mu_1}{2} + \frac{1}{8} (\alpha_0 + \beta_0)^2 \end{aligned} \quad (2.8)$$

При малых углах падения α , соответствующих нерегулярному отражению, можно с большой точностью считать (фиг. 2) $AG = OG$

$$OG = \frac{\alpha + \chi}{\alpha} r_A - r_0, \quad AG = \frac{\alpha + \chi}{\alpha} \left(1 - \frac{\alpha^2}{2}\right) r_A - \left[1 - \frac{(\alpha + \chi)^2}{2}\right] r_A$$

Это дает условие

$$2(\delta_A - 1/2) = \chi_0 (\alpha_0 + \chi_0) \quad (2.9)$$

Теперь значения $\alpha_0, \beta_0, \delta_A, \chi_0, \mu_2$ должны определиться совместным решением вторых условий (2.2), (2.3), условия (2.5), третьего равенства (2.8) и (2.9).

Из (2.2) и (2.9), исключая δ_A , получим

$$\mu_1 = 1 - \alpha_0 (\alpha_0 + \chi_0) \quad (2.10)$$

а исключая χ_0 , имеем

$$\delta_A = \frac{1 + \mu_1^2 + (\alpha_0^2 - 2)\mu_1}{2\alpha_0^2} \quad (2.11)$$

Однако, если из вторых условий (2.2), (2.3) выразить μ_2

$$\mu_2 = (\alpha_0 + \beta_0)(\alpha_0 - \beta_0 + 2\chi_0)$$

и подставить в (2.5), то получим, что нетривиальное решение есть

$$\mu_1 = (\alpha_0 + \beta_0)(\alpha_0 - \beta_0 + 2\chi_0), \text{ или } \mu_1 = \mu_2 \quad (2.12)$$

Это означает, согласно (1.16), что AB — фронт звуковой волны

$$X + \frac{1}{2} Y^2 = \delta_A = \mu_1 \quad (2.13)$$

Тогда из вторых условий (2.2), (2.3), (2.4) получим

$$\alpha_0 + \chi_0 = \sqrt{\mu_1}, \quad \chi_0 = \beta_0, \quad \psi_A^\circ = \alpha_0 + \chi_0 \quad (2.14)$$

Это вместе с (2.9) дает

$$\alpha_0 = (1 - \mu_1) / \sqrt{\mu_1}, \quad \chi_0 = \beta_0 = (2\mu_1 - 1) / \sqrt{\mu_1} \quad (2.15)$$

2.2. Исследуем зависимости (2.10), (2.11). Вводя обозначения

$$\alpha^\vee = \frac{\alpha}{\sqrt{1/2(n+1)M_1}} = \frac{\alpha_0}{\sqrt{\mu_1}}, \quad \chi^\vee = \frac{\chi}{\sqrt{1/2(n+1)M_1}} = \frac{\chi_0}{\sqrt{\mu_1}}$$

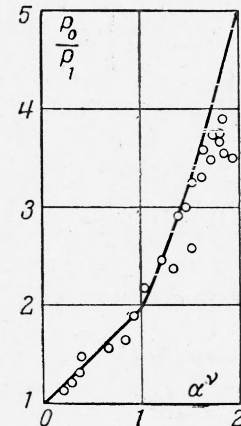
получим

$$\frac{p_0}{p_1} = \frac{1}{\mu_1} = 1 + \alpha^\vee (\alpha^\vee + \chi^\vee), \quad \delta_A = \frac{1 - 2\mu_1 + (1 + \alpha^\vee)^2 \mu_1^2}{2\alpha^\vee \mu_1} \quad (2.16)$$

а) По первому условию (2.14) имеем $\chi^\vee = 1 - \alpha^\vee > 0$ при $0 \leq \alpha^\vee < 1$; поэтому равенства (2.16) принимают вид

$$p_0 / p_1 = 1 + \alpha^\vee, \quad \delta_A = \mu_1 \quad (2.17)$$

б) Величина $\chi^\vee = 0$ при $\alpha^\vee = 1$, т. е. обращается в нуль [1] при угле падения, равном половине критического угла α_*^\vee . Опыты показывают [4], что, действительно, в диапазоне $0.5\alpha_* \leq \alpha \leq \alpha_*$ угол χ очень мал.



Фиг. 3

Тогда при $1 \leq \alpha^v \leq \alpha_*^v = 2$ получим для (2.16)

$$p_0 / p_1 = 1 + \alpha^{v^2}, \quad \delta_A = 1/2 \quad (2.18)$$



Фиг. 4

т. е. область, прилегающая к волне Маха, становится бесконечно малой.

На фиг. 3 дана кривая, показывающая изменение максимального относительного избыточного давления у стенки с изменением угла падения, соответственно формулам (2.17), (2.18).

На фиг. 3 даны также экспериментальные данные, полученные Д. Р. Уайтом [5]. Теперь, имея исходные данные p_1 , α или M_1 , α , определяем основные параметры, характеризующие поток, по формулам (2.14), (2.15), (2.16).

3.1. Для отыскания частных решений уравнений (1.3) воспользуемся классом точных решений, указанных Б. И. Заславским [6], вида

$$\mu = \varphi_2(q) Y^2 + \varphi_1(q), \quad \delta = qY^2 + \chi_1(q), \quad v = \psi_3(q) Y^3 + \psi_1(q) Y$$

где q — параметр. Течение в возмущенной области $OABD$ будет описываться частичным решением

$$\begin{aligned} \mu &= 1/2 q (1 - q) Y^2 + a (q - 1/3)^{-5/3} [q^2 + (b - 1) q + 1/5 (1 - 2b)] + d \\ \delta &= qY^2 - a (q - 1/3)^{-5/3} [q - 1/5 (1 - 2b)] + d \\ v &= 1/3 q^3 Y^3 - a (q - 1/3)^{-5/3} [q^3 + (1 - 2b) q^2 - (1 - 2b) q + 1/5 (1 - 2b)] Y - dY \end{aligned} \quad (3.1)$$

где a, b, d — произвольные постоянные.

Они должны быть выбраны таким образом, чтобы удовлетворялись условия в точках A и O , а следовательно, и условие непрерывности касательной составляющей вектора скорости при переходе через волну Маха.

В точке A , согласно (2.13), (2.15), (2.4), имеем

$$\delta_A = \mu_1, \quad Y_A = \chi_0 = \frac{2\mu_1 - 1}{V \mu_1}, \quad v_A = -(\mu_1)^{3/2}$$

Это дает

$$\begin{aligned} \mu_1 &= 1/2 q (1 - q_1) Y_A^2 + a (q_1 - 1/3)^{-5/3} [q_1^2 + (b - 1) q_1 + 1/5 (1 - 2b)] + d \\ \mu_1 &= q_1 Y_A^2 - a (q_1 - 1/3)^{-5/3} [q_1 - 1/5 (1 - 2b)] + d \\ -(\mu_1)^{3/2} &= 1/3 q_1^3 Y_A^3 - a (q_1 - 1/3)^{-5/3} \times \\ &\times [q_1^3 + (1 - 2b) q_1^2 - (1 - 2b) q_1 + 1/5 (1 - 2b)] Y_A - dY_A \end{aligned} \quad (3.2)$$

В точке O $\mu_0 = 1$, $\delta_0 = 1/2$, $Y_0 = 0$ и для (3.1) получим

$$\begin{aligned} 1 &= a (q_0 - 1/3)^{-5/3} [q_0^2 + (b - 1) q_0 + 1/5 (1 - 2b)] + d \\ 1/2 &= -a (q_0 - 1/3)^{-5/3} [q_0 - 1/5 (1 - 2b)] + d \end{aligned} \quad (3.3)$$

Имеем пять уравнений для отыскания пяти неизвестных.

Решая эти уравнения совместно, получим

$$b = \frac{Y_A^3 (q_1^2 - 2q_1^{3/2} - 1/3 q_1^4) - 2\mu_1 (Y_A - \mu_1^{1/2}) q_1}{2\mu_1 (Y_A - \mu_1^{1/2}) - 8/3 Y_A^3 q_1^3} \quad (3.4)$$

$$d = \mu_1 - Y_A^2 q_1 + \frac{Y_A^2}{2} \frac{(q_1 + 1) [q_1 - 1/5 (1 - 2b)]}{q_1 + b} \quad (3.5)$$

$$q_0 = \frac{5 + 5b - 10bd + \sqrt{100b^2 d^2 - 20 [b(1 + 5b) + 2]d + 10b + 25b^2 + 45}}{10(2d - 1)} \quad (3.6)$$

$$a = \frac{Y_A^2}{2} \frac{(q_1 + 1) (q_1 - 1/3)^{5/2}}{(q_1 + b)} - \frac{(q_0 - 1/3)^{5/2}}{2q_0(q_0 + b)} \quad (3.7)$$

т. е. значения a, b, d, q_0 определились через q_1 .

Значение q_1 получим, решая уравнение (3.7), где q_0 взято по (3.6).

На фиг. 4 дана кривая зависимости q_1 от μ_1 , полученная численным решением уравнения (3.7). При этом для значений μ_1 , стремящихся к 0.5, q_1 стремится к q_0 , и, согласно (3.7), имеем

$$q_1 = \frac{\sqrt{4\mu_1^2 + 1}}{2(2\mu_1 - 1)} - 0.5$$

Этим значениям соответствует пунктирная линия на фиг. 4.

3.2. Уравнение фронта волны Маха

$$\frac{d\delta}{dY} = \sqrt{2\delta - \mu}$$

после подстановки решение (3.1) примет вид

$$\frac{dq}{dY} = \frac{\sqrt{1/2 q (3 + q) Y^2 - a (q - 1/3)^{-5/2} [q^2 + (b + 1) q - 1/5 (1 - 2b)] + d - 2Yq}}{Y^2 + 2/3 a (q - 1/3)^{-8/3} (q + b)} \quad (3.8)$$

Его необходимо проинтегрировать при условии $Y = 0, q = q_0$. Уравнение (3.8) в дальнейшем будем интегрировать численно, выстраивая фронт волны Маха от точки O до A .

3.3. Рассмотрим для примера поток при $M_1 = 0.1$, $\alpha = 4^\circ$, что соответствует по (2.17) $\mu_1 = 0.833$. Согласно (2.16), (2.14), имеем

$$\alpha_0 = 0.183, \quad Y_A = \chi_0 = \beta_0 = 0.73, \quad \delta_A = 0.833$$

Уравнение (3.7) дает значение $q_1 = 1.09$ (фиг. 4), что позволяет по формулам (3.4), (3.5), (3.6), (3.7) определить

$$a = 0.261, \quad b = 0.236, \quad d = 0.667, \quad q = 2.7$$

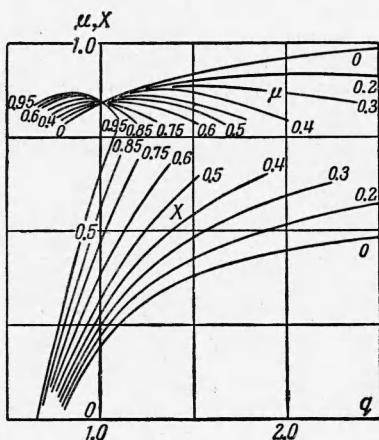
На фиг. 5 показаны поля значений $\mu(q, Y)$, $X(q, Y)$, вычисленные по формулам (3.1). Численные индексы вдоль кривых соответствуют значениям Y , при которых проводился расчет.

На фиг. 6 показано поле скоростей $\mu(X, Y)$ (поле равных давлений), согласно данным фиг. 5. На фиг. 6 построены также фронт волны Маха, координаты которого получены численным интегрированием уравнения (3.8), и фронт падающей и отраженной волн. При этом условие непрерывности касательной составляющей вектора скорости при переходе через волну Маха удовлетворяется на всем фронте волны с большой точностью.

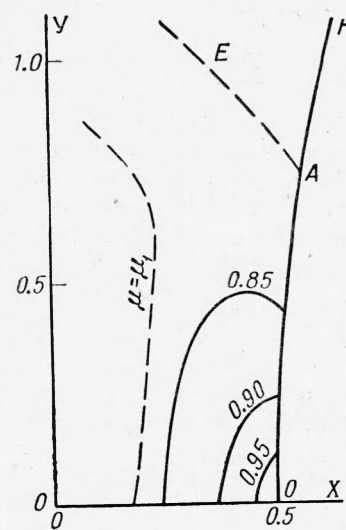
Как видно из полученного распределения скоростей, величина области сильных изменений давления по направлению стенки определилась. Линии равных давлений (скоростей) хорошо согласуются с поведением соответствующих линий равных плотностей по интерферограмме К. Г. Флетчера [7] для подобного течения.

Что касается определения линии $\mu = \mu_1$ со стороны отраженной волны, то ее положение должно быть найдено из условия смыкания данного решения с соответствующим решением в линейной постановке задачи.

В рассматриваемом случае было достаточно выполнение того условия, что на этой линии градиенты давления, плотно-



Фиг. 5



Фиг. 6

сти и скорости частиц малы, так как теперь деформация линии и изменение условий на ней должны слабо влиять на распределение скорости в области больших градиентов.

Автор приносит благодарность С. В. Фальковичу за советы при обсуждении работы.

Поступила 5 X 1963

ЛИТЕРАТУРА

- Рыжов О. С., Христианович С. А. О нелинейном отражении слабых ударных волн. ПММ, 1958, т. XXII, вып. 5.
- Гриб А. А., Рыжов О. С., Христианович С. А. Теория коротких волн. ПМТФ, 1960, № 1.
- Станюкович К. П. Неустановившиеся течения сплошной среды. Гостехиздат, 1955.
- Bleakney W., Taub A. H. Interaction of shock waves. Rev. Mod. Phys., 1944, vol. 21, No. 4.
- White D. R. An experimental survey of the Mach reflection of shock waves. Proc. second Midwestern Fluid Mech., 1952.
- Заславский Б. И. Некоторые частные решения уравнений «коротких волн». ПМТФ, 1962, № 1.
- Fletcher C. H., Taub A. H., Bleakney W. The Mach reflection of shock waves at nearly glancing incidence. Rev. Mod. Phys., 1951, vol. 23, No. 3.